

تأثير التشويب بالنتروجين على الثوابت البصرية لأغشية (SiC) المحضررة بلزير TEA-CO₂

ماجدة علي أمين *
عدنان صالح العيثاوي

تاريخ قبول النشر ٢٠٠٣/٥/١٠

الخلاصة

تم في هذا البحث تحضير أغشية كاربيد السليكون النقيّة (SiC) والمشوّبة بالنتروجين (SiC:N) بالفوك الضوئي لغاز السبيلين (SiH₄) والاثلين (C₂H₄) فضلاً عن غاز الاشابة (الامونيا NH₃) وباستخدام لزير TEA-CO₂. تم ترسيب الأغشية على أرضيات من الزجاج بمعدل ترسيب / 0.416 nm (pulse) وسمك (500 nm) عند درجة حرارة (375 °C) وضغط كلٍ للغازات (150 mbar)، وتم تحديد الضغوط الجزئية للغازات المتفاعلة (وتحديداً غاز الامونيا) بالعامل (X) الذي يمثل النسبة بين ضغط غاز (NH₃) (P_{NH3}) ومجموع ضغوط غازات (P_{SiH4} + P_{C2H4} + (SiH₄, C₂H₄, NH₃)) الذي يأخذ القيمتين (0, 0.033). استخدم طيف النفاذية في مدى الأطوال الموجية (1100-400 nm) لدراسة الخواص البصرية للأغشية المسخّرة وبالاعتماد على تقنية (Swanepoel)، وأظهرت النتائج المستحصلة بشكل عام زيادة نفاذية أغشية (SiC) لجميع الأطوال الموجية عند تشويبها بالنتروجين، واستخدم هذا الطيف لحساب الثوابت البصرية دالة للطول الموجي، فوجد نقصان في كل من معامل الامتصاص (α)، معامل الانكسار (n) والخود (K) وثبت العزل بجزئيه الحقيقي (ϵ_1) والخيالي (ϵ_2) لأغشية (SiC) عند تشويبها بالنتروجين. وأعزى السبب في ذلك إلى نقصان المستويات الموضعية داخل فجوة الطاقة البصرية بسبب ملئ الأوصاف المتذليلة لذرارات السليكون الحرة بذرات النتروجين (Si-N) والهيدروجين (Si-H).

المقدمة

الكثير من الباحثين، حيث تم تحضير أغشية متعددة في مختبرات العالم المختلفة باستخدام لزيرات الأشعة فوق البنفسجية (UV Laser) وتحت الحمراء النبضية (Pulse IR Laser) والمستمرة (CW IR Laser)، ومن بين هذه الأغشية، الأغشية المعدنية مثل (Cu, Al) وشبكة الموصلة مثل (GaAs, Ge, Si) فضلاً عن الأغشية السيراميكية (العزلة) مثل (Si₃N₄) [5-3]. تعد أغشية كاربيد السليكون (SiC) المادة المعول عليها في الأنظمة ذات القدرة والترددات ودرجات الحرارة العالية وتستخدم هذه المادة كاغطية وقائية للأجهزة ومعدات القطع وكاجزاء تحسن في المحركات

بعد اكتشاف الليزر منذ عام (١٩٦٠) حدثت مهماً في مجالات تطبيقية عديدة منها الهندسية الطبية، الصناعية فضلاً عن التطبيقات العسكرية وفي الاتصالات والتصوير المجسم، وكان للليزر اثر فعال في تطوير تقنيات مختلفة، ومن التطبيقات الحديثة للليزر استخدامه في حث عمليات الترسيب المختلفة [2,1] والتي استخدمت في بحثنا هذا لبناء أغشية رقيقة من مادة كاربيد السليكون النقيّة (SiC) والمشوّبة بالنتروجين (SiC:N). إذ استخدم الليزر في السنوات الأخيرة في تكوين أغشية رقيقة عن طريق ترسيب البخار كيميائيا (Laser Induced Chemical Vapor Deposition (LICVD)) وحصل على اهتمام

جدول رقم (١)

$T_s = 375^{\circ}\text{C}$	درجة حرارة الأساس
(75 , 72.5) mbar	ضغط غاز SiH ₄ و C ₂ H ₄
(5 , 0) mbar	ضغط غاز N ₂
150 mbar	الضغط الكلي
10.6 μm	الطول الموجي للليزر
1200 نبضة	عدد نبضات الليزر
1.5 J	طاقة نبضة الليزر
10P(20)	خط ابتعاث الليزر
500 nm	سمك الأغشية
0.416 nm / pulse	معدل الترسيب

وحد العامل (X) (الذي يمثل نسبة ذرات النتروجين في الأغشية) وفق العلاقة الآتية :-

$$X = \frac{P_{NH_3}}{P_{SiH_4} + P_{C_2H_4} + P_{N_2}} \quad (1)$$

حيث :

P_{NH_3} : ضغط غاز الامونيا .

P_{SiH_4} : ضغط غاز السيليلين .

$P_{C_2H_4}$: ضغط غاز الألثين .

تم استخدام جهاز (UV - VIS) ذو المدى الطيفي nm (1100-200) لدراسة الخواص البصرية .

النتائج والمناقشة أولاً: أطياف النفايات

بيين الشكل (2) الطيف النافذ للأغشية (SiC) النقية (X=0) والمشوبة بالنتروجين (X=0.033) (SiC:N) (SiC:N) (X=0.033) ضمن المدى الطيفي nm (400-1000) nm ، حيث يظهر بشكل عام إن هناك زيادة في نفاذية أغشية (SiC) لجميع الأطوال الموجية عند تشويبها بالنتروجين . إن السبب في ذلك يعزى إلى وجود غاز الامونيا ضمن عملية الترسيب والذي يؤدي إلى اندماج ذرات النتروجين والهيدروجين داخل شبكة أغشية (SiC) ، إذ إن دخول غاز الامونيا ضمن عملية الترسيب يؤدي إلى زيادة المحتوى النتروجيني والهيدروجيني للأغشية المترسبة أي زيادة ذرات النتروجين والهيدروجين المرتبطة بذرات السليكون الحرر (Si) وتكون الأوصىر (Si-N) و (Si-H) على التوالي مما يعمل على تقلييل الأوصىر السنديانية والذي يؤدي بدوره إلى تقلييل (Localized States) .

الساخنة بالإضافة إلى استخدامها في السيارات ومحركات الطائرات ، وذلك لامتلاكها استقرارية كيميائية جيدة ومقاومة لدرجات الحرارة العالية فضلاً عن الاستقرارية الحرارية ، كما تمتاز بكونها ذات صلادة ميكانيكية ومقاومة عالية للصهر فهي تتفاوت عند درجة حرارة بحدود (2700 °C) إضافة إلى ذلك تمتاز هذه المادة بمقاومة لها للعوامل المؤكسدة وللتآكل . ونتيجة لامتلاك مادة (SiC) فجوة طاقة عريضة بحدود (3 eV) فهي تستخدم كعوازل للخلايا الشمسية كما تدخل في صناعة الخلايا الشمسية بالإضافة إلى استخدامها في صناعة الصمام الثنائي الباعث للضوء الأزرق (Blue LEDs) كما استخدمت حديثاً كواشف للأشعة فوق البنفسجية [10] .

4. تكمن فكرة البحث في تكوين أغشية كاربيد السليكون النقية (SiC) والمشوبة بالنتروجين ومن تفكك غاز السيليلين (SiH₄) والألثين (C₂H₄) ضوئياً فضلاً عن غاز الاشباه (الأمونيا NH₃) ضوئياً عن طريق الامتصاص متعدد الفوتونات المعززة بالتصادم الذي ينجزه ليزر (TEA-CO₂) ثم دراسة خواصها البصرية .

الجزء العملي

تم تعضير أغشية كاربيد السليكون النقية والمشوبة بالنتروجين باستخدام المنظومة المبينة بالشكل (١)، حيث استخدمنا ليزر (TEA-CO₂) النبضي وبترتيب هندسي موازي (substrate) (حزمة الليزر موازية للأرضية (substrate))، كمصدر لتجهيز المنظومة بالطاقة اللازمة لتكوين الأغشية المطلوبة . بعد تفريغ الخلية لغرض تنظيفها، تسخن الأرضيات الزجاجية (Substrate) (المراد ترسيب الأغشية عليها) لحين الوصول إلى درجة الحرارة المطلوبة (375 °C) بعدها يتم إدخال الغازات وبالضغط المطلوب (كما موضح بالجدول (١)) ثم تعرض الغازات داخل الخلية إلى عدد كافي من نبضات الليزر، عندما تحدث عملية التهيج والذرة تتكاثر الفوتونات لهذه الغازات مما يؤدي إلى تكوين الأغشية وبالنسبة المطلوبة، ثم تفرغ الخلية للتخلص من الغازات المتبقية (Residual gas) .

والجدول (١) يوضح ظروف الترسيب المختارة :-

هذا الشكل إن معامل الانكسار يقل عند شوبير (SiC) أخف بالنتروجين، فقد وجد إن معامل الانكسار لاغشية (SiC) النقيمة يأخذ القيمة (2.86) عند الطول الموجي (880 nm) (الذي هو في الواقع يمثل تقريباً منتصف منطقة الطيف المستخدم nm (600-1100 nm)) والذى يقل ليأخذ القيمة (2.09) عند تشوبيها بالنتروجين وبالنسبة ($X=0.033$) إن تفسير ذلك يعود إلى ما ذكرناه سابقاً، إذ إن زيادة ذرات النتروجين والبيروجين المرتبطة بذرات السليكون الحرة (المنشرة في شبكة الغشاء) (Si-N) وعلى التوالي (والمتاتية من دخول غاز الامونيا (NH_3) وبالضغط (5 mbar) ضمن عملية الترسيب) تعمل على تقليل الأواصر المتداخلة لذرات السليكون هذه التي تؤدي بدورها إلى تقليل المستويات الموضعية داخل فجوة الطاقة البصرية مما يعدل على تقليل إعاقة مرور الضوء داخل الوسط (الغشاء) أي زيادة سرعة الضوء في الغشاء وبالتالي نقصان معامل الانكسار وحسب التعريف المذكور أعلاه، كما يمكن أن يعزى النقصان في معامل الانكسار إلى التغير في استقطابية الأواصر عند دخول النتروجين ضمن شبكة أغشية (SiC)، حيث من المعروف إن الاستقطاب في المادة (الغشاء) الحالى بفعل سقوط الأشعة الكهرومغناطيسية (الضوء) عليها يكون مقياساً لمعامل الانكسار لهذه المادة. وهكذا نتائج اتفقت مع ما توصلت إليه عدد من البحوث، فقد اتفقنا نتائجنا مع Soto et al. [10]، إذ حضروا أغشية (SiC_xNy و SiC) بطريقة التزوير (Ablation) باستخدام ليزر الاكسايمر (ArF) فوجدوا نقصان معامل الانكسار بزيادة المحتوى النتروجيني. كما اتفقنا نتائجنا مع Chen et al. [12]، إذ حضروا أغشية (CN) بوجود السليكون وبعد وجوده للحصول على أغشية (SiCN) فوجدوا أن (n) تعتمد بشدة على المحتوى السليكوني والنتروجيني إذ تقل بزيادة المحتوى النتروجيني بينما تحصل لها زيادة حقيقة عند اندماج السليكون في أغشية (CN)، وقد أزعوا بذلك إلى التغير في استقطابية المادة.

بــمعامل الامتصاص (α)

يعتبر معامل الامتصاص من الثوابت البصرية المهمة وإن حسابه قرب حافة الامتصاص الأساسية توفر معلومات مهمة عن تأثير امتصاص الفوتونات الضوئية من قبل الملاحة في حدوث الانقلابات الألكترونية .

داخل فجوة الطاولة المحسورة بين حرمي التكافل و التوصيل مما يزيد من تعاظمة الأغشية .

ثانياً: الشواهيد البصرية

تم حساب التوايت البصرية والتي تشمل معامل الانكسار (n) والخmod (K)، تبايت العزول بجزئيه الحقيقي (α) والخيالي (β) فضلاً عن معامل الامتصاص (α) لاغشية (β) النقيمة ($X=0.033$) والمشووبة بالنتروجين ($X=0$) (SiC:N) باستخدام مدخلني ذليف الفايزيرية (Spectral Transmittance Curve) وبواسطة تقنية (Swanepoel Technique Envelope)، إذ استخدمت هذه التقنية في إيجاد التوايت البصرية من قبل (Swanepoel 1983) [11] وتمتاز هذه الطريقة بالدقة العالية حيث تحمل نسبة الخطأ في حسابي معامل الانكسار إلى (± 0.01) ومعامل الخmod إلى (± 0.001).

أ-معامل الانكسار (n)

تم حساب معامل الانكسار الذي يمثل النسبة بين سرعة الضوء في الفراغ وسرعته في الوسط (الغشاء) من قانونMaxima T_M أعظم نفاذية _____ و أقل نفاذية _____ (Transmittance Minima T_m) من الغلاف (Envelope) ولاطوال موجية (400-1000 nm) ، كما موضح في الشكل (3) و (4) ، باستخدام المعادلة الآتية :-

$$n = \left\lceil N + (N^2 - S^2)^{\frac{1}{2}} \right\rceil^{\frac{1}{2}} \dots \quad (2)$$

حدیث :

n : معامل الانكسار لمادة الغشاء (SiC و SiC:N)

S : معامل الانكسار للأرضية (Substrate) والزجاجية وقيمتها (1.446).

أما قيمة (N) فيتم حسابها من المعادلة الآتية : -

$$N = 2S \frac{T_M - T_m}{T_M T_m} + \frac{S^2 + 1}{2} \quad \dots \quad (3)$$

يبين الشكل (5) تغير معامل الانكسار لأشعية (SiC) (X=0) والمشوهة بالنتروجين (X=0.033) دالة للطول الموجي، اذ نلاحظ من

$\times 10^{-2}$ عند التشويب بالنتروجين، وكما موضح في الشكل (7)، كذلك يتضح من هذا الشكل أن معامل الخمود يقل مع زيادة الطول الموجي ولمحتوى نتروجيني واحد.

يمكن تفسير السبب في ذلك كالتالي :-

من المعروف أن معامل الخمود يصنف توهين الأشعة الكهرومغناطيسية عند انتقالها في المواد (الغشاء)، فعند ملي الأواصر المتداولة لذرات السليكون الحرة (Si) بذرات النتروجين (Si-N) والهيدروجين (Si-H) والناتجة من خلط غاز الامونيا مع غاز السبيالين والاثيلين أثناء عملية الترسيب) تقل المستويات الموضعية الناشئة عنها داخل فجوة الطاقة البصرية مما يجعل على زيادة سرعة الضوء (الأشعة الكهرومغناطيسية) داخلاً تركيز مادة الغشاء فيقل بذلك توهينها مما يؤدي إلى تقصان معامل الخمود .

اتفقنا هذه النتائج مع [10] إذ لاحظوا تقصان معامل الخمود بزيادة المحتوى النتروجيني في أغشية (SiC_xN_y) . كما اتفقنا مع [12] بأن معامل الخمود يقل مع زيادة المحتوى النتروجيني ولمحتوى نتروجيني واحد يقل معامل الخمود بزيادة الطول الموجي .

د - ثابت العزل الكهربائي (ε)

إن قيمة (ε) من الناحية الفيزيائية تمثل استجابة الإلكترونات في المادة للمجال الكهرومغناطيسي الساقط وتعتمد على التردد ويكون ثابت العزل مركب من جزء حقيقي وأخر خيالي وكما يأتي :-

$$\epsilon = \epsilon_1 + i\epsilon_2 \quad (8)$$

حيث

ε₁: الجزء الحقيقي من ثابت العزل الكهربائي .
ε₂: الجزء الخيالي من ثابت العزل الكهربائي .

١- الجزء الحقيقي من ثابت العزل

(ε₁)

تم حساب الجزء الحقيقي من ثابت العزل (ε₁) والذي يمثل حد الاستقطاب من المعادلة الآتية :-

$$\epsilon_1 = n^2 - K^2 \quad (9)$$

حيث:-

ε₁: الجزء الحقيقي من ثابت العزل .

K: معامل الانكسار .

K: معامل الخمود .

وتم حساب معامل الامتصاص لأغشية (SiC) النقية والمشوبة بالنتروجين وفقاً للعلاقة الآتية :-

$$A = \exp(-\alpha d) \quad (4)$$

حيث:-

α: معامل الامتصاص .

d: سمك الغشاء .

اما A فتمثل الامتصاصية والتي تحسب باستخدام الغلاف (Envelope) وفقاً للعلاقة الآتية :-

$$A = E_M \frac{[E_M^2 - (n^2 - 1)^3(n^2 - S^4)]^{1/2}}{(n^2 - 1)^3(n - S^2)} \quad (5)$$

حيث إن :-

$$E_M = \frac{8n^2 S}{T_M} + (n^2 - 1)(n^2 - S^2) \quad (6)$$

حيث تمثل - T_M - اعظم فناية وتحسب من الغلاف (Envelope) .

اظهرت النتائج المستحصلة من العلاقة

(4) تناقص في قيم معامل الامتصاص لأغشية (SiC) عند تشويبها بالنتروجين، فعند الطول الموجي (880 nm) أخذت (α) القيمة (7970 cm⁻¹) لاغشية (SiC) النقية وقت لتأخذ القيمة (2023 cm⁻¹) عند تشويبها بالنتروجين، وكما موضح في الشكل (6)، والسبب في ذلك يعزى إلى نفس العوامل التي ذكرت سابقاً .

ج - معامل الخمود (K)

تم حساب معامل الخمود (K) وفقاً للعلاقة الآتية :-

$$K = \frac{\alpha \lambda}{4\pi} \quad (7)$$

حيث

K: معامل الخمود .

α: معامل الامتصاص .

λ: الطول الموجي للضوء الساقط .

نلاحظ من هذه العلاقة إن سلوك معامل الخمود مناظر وبشكل كبير لسلوك معامل الامتصاص حيث لوحظ بأن معامل الخمود لأغشية (SiC) يقل عند تشويبها بالنتروجين، فهو يأخذ القيمة (5.58 × 10⁻²) عند الطول الموجي (880 nm) لأغشية (SiC) بينما يقل ليأخذ القيمة (1.43)

٤- من دراسة الثوابت البصرية تبين ما ياتي :-
 أ- تقصان معامل الانكسار (n) لاغشية (SiC) عند تشويبها بالنتروجين تنتجه لنقصان المستويات الموضعية .
 ب- مللي الأوامر المتبدلة ونقصان المستويات الموضعية أدى إلى تقصان في قيمة معامل الامتصاص وبالتالي معامل الخمود (K) .
 ج- نقصان ثابت العزل بجزئيه الحقيقي (ε₁) والخيالي (ε₂) لاعتمادهما على معامل الانكسار والخسود على التوالي .

بعد رسم العلاقة بين النتائج المستحصلة من المعادلة (٩) كدالة للطول الموجي ، الشكل (٨) تبين تقصان الجزء الحقيقي من ثابت العزل الكهربائي لاغشية (SiC) عند تشويبها بالنتروجين ، إذ قلت قيمة (ε₁) من (8.19) عند الطول الموجي (880 nm) لاغشية (SiC) النقية إلى (4.38) عند تشويبها بالنتروجين . يعزى سبب هذا النقصان إلى ما ذكر سابقاً لاعتراض (ε₁) على معامل الانكسار (n) وفقاً للمعادلة (٩) .

٢- الجزء الخيالي من ثابت العزل

(ε₂) يعد الجزء الخيالي من ثابت العزل (ε₂) مقابلاً للطاقة المفقودة وهو بذلك يعتمد على معامل الخمود وفقاً للمعادلة الآتية :-

$$(10) \quad \epsilon_2 = 2nK$$

والشكل (٩) يوضح تغير (ε₂) لاغشية (SiC) النقية والمشووبة بالنتروجين مع الطول الموجي . إذ يتضح من هذا الشكل هبوط في قيم (ε₂) لاغشية (SiC) عند تشويبها بالنتروجين . حيث أصبحت قيمة (ε₂) لاغشية (SiC:N) مساوية إلى (5.99 × 10⁻²) عند الطول الموجي (880 nm) بعد أن كانت متساوية إلى (31.98 × 10⁻²) لاغشية (SiC) النقية . ويعزى هذا إلى نقصان معامل الخمود عند تشويب اغشية (SiC) بالنتروجين والذي يعتمد عليه (ε₂) .

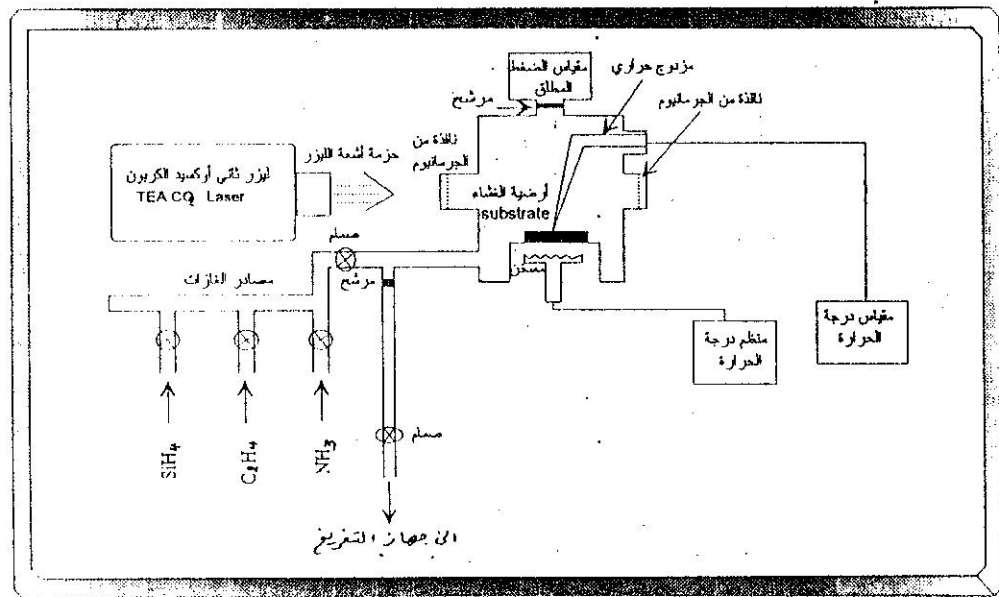
الاستنتاجات

يمكن تلخيص أهم النتائج التي تم التوصل إليها كما ياتي :-

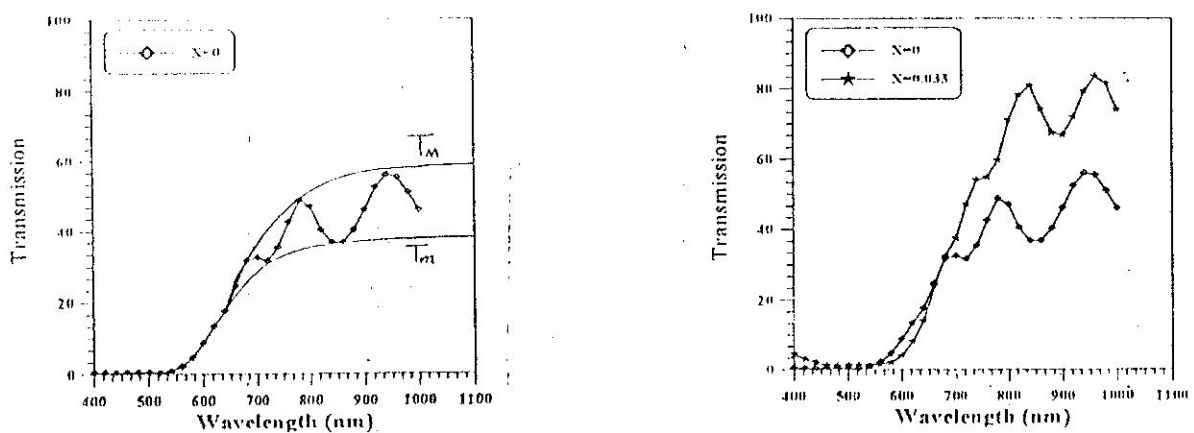
١- تشويب اغشية (SiC) بالنتروجين من خلال خلط غاز الامونيا (NH₃) مع المزيج الغازي المؤلف من غاز السيليكون (SiH₄) والاثيلين (C₂H₄) .

٢- إمكانية الحصول على اغشية ذات سمك عالي التجانس عند التحكم العالي الدقة بدرجة حرارة الأرضيات والضغط الكلي لخلية التفاعل ، وعليه بالإمكان استخدام تقنية الغلاف (Envelope) في حساب الثوابت البصرية للأغشية المحضرة بالليزر ، حيث استخدمت هذه التقنية لأول مرة وذلك لصعوبة الحصول على اغشية ذات سمك عالي التجانس باستخدام الليزر .

٣- زيادة نفاذية اغشية (SiC) عند تشويبها بالنتروجين بسبب مللي الأوامر المتبدلة لذرات السليكون الحرة (Si) بذرات الفنتروجين (Si-N) والهيدروجين (Si-H) .

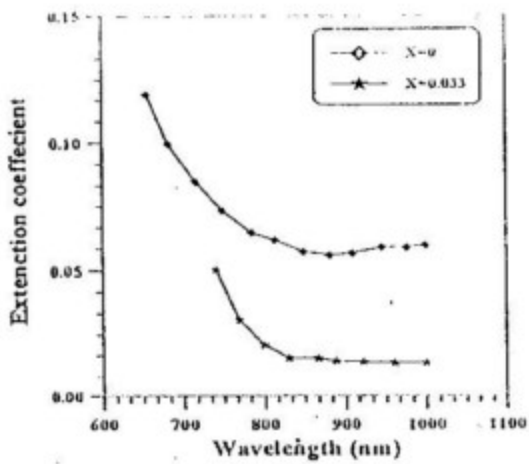


الشكل (١): يوضح مخطط لمنظومة الترسيب بالليزر

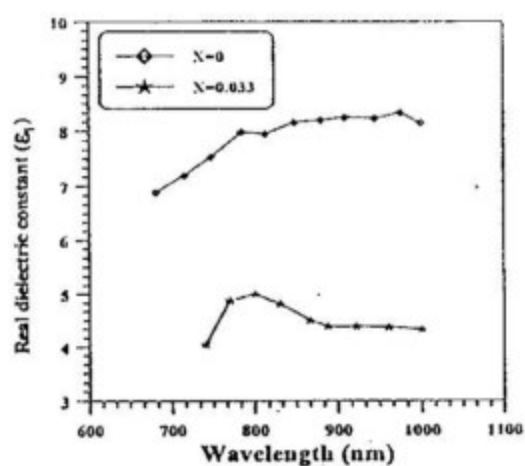


الشكل (٣): يوضح الـ Envelope (الطيف الناقص)
لاغشية (SiC) النقيّة (X=0)

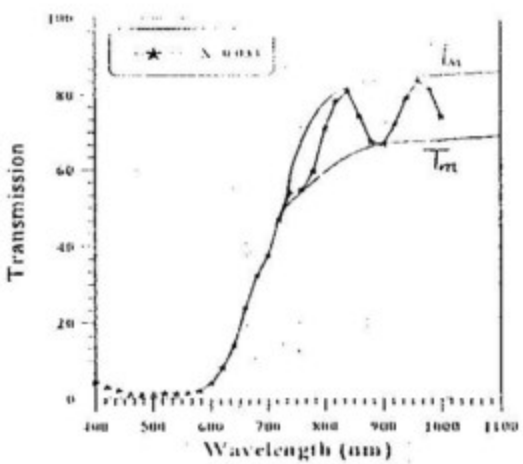
الشكل (٢): طيف النفاذية دالة للطول الموجي لاغشية (SiC)
المحضرّة عند قيم (X) (0.033 ، 0)



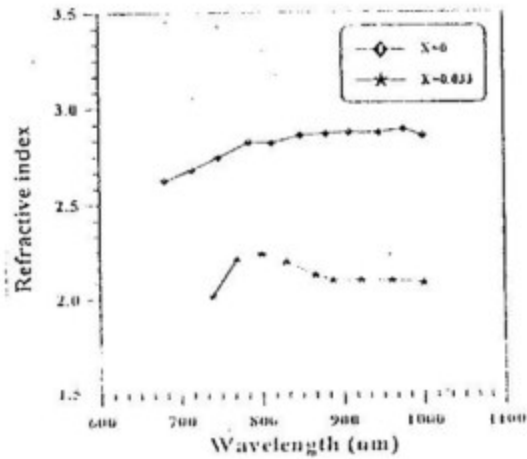
الشكل (7): تغير معلم الخمود دالة للطول الموجي للأغشية (SiC) المحضرة عند قيم (X) (0.033 , 0) (X) (0) لاغشية



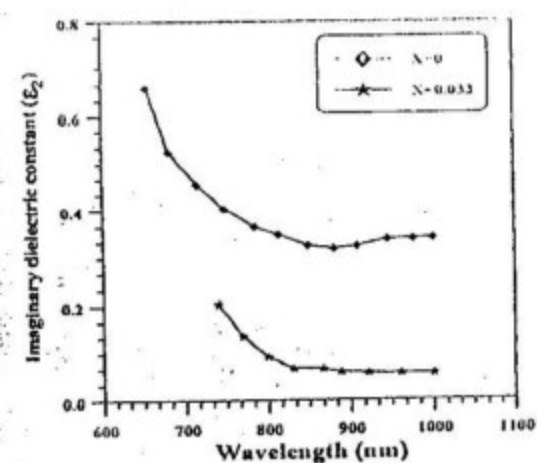
الشكل (8): تغير الجزء الحقيقي من ثابت العزل (ϵ_r) دالة للطول الموجي للأغشية (SiC) المحضرة عند قيم (X) (0.033 , 0) (X) (0) لاغشية



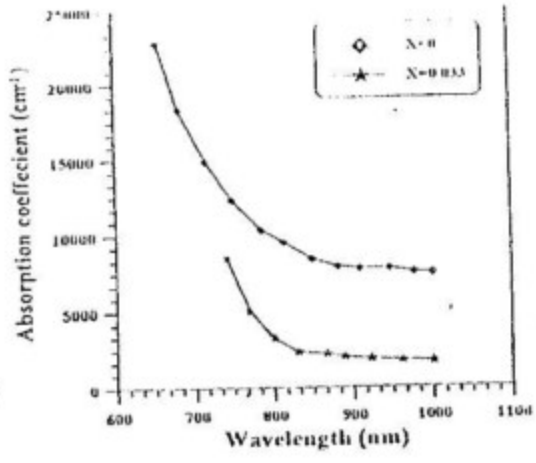
الشكل (4): يوضح الـ Envelope للطيف النافذ لأغشية (SiC) المشوبة بالنيتروجين (X=0.033) (SiC N)



الشكل (5): تغير معلم الانكسار دالة للطول الموجي للأغشية (SiC) المحضرة عند قيم (X) (0.033 , 0) (X) (0) لاغشية



الشكل (9): تغير الجزء الخالي من ثابت العزل (ϵ_2) دالة للطول الموجي للأغشية (SiC) المحضرة عند قيم (X) (0.033 , 0) (X) (0) لاغشية



الشكل (6): تغير معلم الامتصاص دالة للطول الموجي للأغشية (SiC) المحضرة عند قيم (X) (0.033 , 0) (X) (0) لاغشية

- ity in r.f. Glow-Discharge-Deposited a-SiC:H Films Doped with Nitrogen), "Phil. Mag. B", 68 : (1) 55 .
8. Krishnan, S., Couto G.C.D., Chaudhry M.I. & Babu S.V., 1995, (Excimer Laser-Induced Doping of Crystalline Silicon Carbide Films), "J. Mater. Res.", 10 : (11) 2723 .
 9. Scartete,M., Butter I.S. & Harrod J.F., 1995, (Nitrogenation of Silicon Carbide Layers Deposited on Silicon Single-Crystal Wafers via Pyrolysis of Poly(methylsilane). "Chem. Mater.", 7 : 1214 .
 10. Soto , G., Samano E.C., Machorro R. & Cota L., 1998, (Growth of SiC and SiC_xN_y Films by Pulsed Laser Ablation of SiC in Ar and N₂ Environments), "Vac. Sci. Technol. A", 16 : (3) 1311 .
 11. Swanepole,R., 1983, (Determination of the thickness and optical Constants of Amorphous Silicon), " J. Phys. E, Sci. Instrum ", 16 : 1214 .
 12. Chen, L.C., Lin H.Y., Wong C.S., Chen K.H., Lin S.T., Yu Y.C., Wang C.W., Lin E.K. & Ling K.C., 1999, (Ellipsometric study of Carbon Nitride thin films with and without Silicon addition). "Diam. Relat. Mater.", 8 : 618 .

References

1. Isenor,N.R. & Richardson M.C., 1971, (Dissociation and Breakdown of Molecular Gases by Pulsed CO₂ Laser Radiation), "Appl. Phys. Lett.", 18 : (6) 224 .
2. Solanki, R., Moore C.A. & Collins G.J., 1985 , (Laser-Induced Chemical vapor deposition), "Solid State Technology ", 28 : (6) 220 .
3. Herman, I.P, 1989, (Laser-Assisted Deposition of thin Films from Gas-Phase and Surface-Adsorbed Molecules), " Chem. Rev. ", 89 :1323 .
4. Drinek , V. & Pola J., 1994, (Laser-Induced Chemical Vapour Deposition of Silicon Carbide), " Ceramics-Silikaty ", 38 : 37 .
5. Besling , W.F.A.,vander Put P.J.J.M. & Schoonman J., 1995, (Laser-Induced Chemical Vapour Deposition of Silicon Carbonitride), " Journal DE Physique IV ", 5 : 953 .
6. Mogab, C.J. & Kingery W.D., 1968, (Preparation and Properties of Noncrystalline Silicon Carbide Films), "J. Appl. Phys.", 39 : (8) 3640 .
7. Nakaaki, I., Saito N., Inui Y., Yoshioka S. & Nakamura S., 1993, (Enhancement of Photoconductiv-

Effect of doping with nitrogen on the optical constant of the Sic films prepared by TEA-Co₂ Laser

*Majda A. Ameen **Adnan S. Al-Ethawi
 **Hamad R. Al-Azawi

*College of Science for Women-University of Baghdad

**Minstry of Science and technology

Abstract

In this paper, preparation of silicon carbide (pure (SiC) and doped with nitrogen (SiC:N)) thin films were carried out by the photolysis of the silane (SiH₄) and ethylene (C₂H₄) gases and using TEA-CO₂ laser . The thin films were deposited on glass substrate at 375 °C), deposition rate (0.416 nm / pulse) thin film thickness of (500 nm) and total gases pressure (150 mbar), the partial pressure of the reactant gases were determined by the parameter (X) (which is represented by the ratio between (PNH₃) and (PSiH₄ + PC₂H₄ + PNH₃)), X has the values of (0, 0.033) .The Transmittance spectral in wavelength range of (400 - 1100) nm and Swanepoel technique were using to study the optical properties of the deposited films, the results showed that the doping causes increasing of the transmittance, this spectral was using to calculate the optical constant, so it is found that the doping causes decreasing the values of the absorption, extinction and fraction coefficient α , K , n) respectively as well as the decreasing of the real and imaginary dielectric constant ,the reason of this was attributed to decrease of the localized states inside the energy gap .